



## بررسی خصوصیات فیزیکی و مکانیکی سنگ مخزن سازند شوریجه در یکی از پهنه‌های واقع در حوضه کپه داغ (شمال خاور ایران)

حسن باقری<sup>۱\*</sup>، سیده‌اشم طباطبایی (ئیسی)<sup>۲</sup>، لیلا فضلی<sup>۳</sup> و فرامرز دولتی اردبجانی<sup>۴</sup>

(۱) کارشناس ارشد زمین‌شناسی نفت دانشگاه آزاد اسلامی واحد دماوند، bagheri6464@yahoo.com

(۲) دانشیار، اداره ژئوفیزیک، مدیریت اکتشاف شرکت ملی نفت ایران، dr\_tabatabae@yahoo.com

(۳) استادیار، دانشگاه آزاد اسلامی واحد دماوند، fazli52@yahoo.com

(۴) استاد، دانشکده معدن، پردیس دانشکده‌های فنی، دانشگاه تهران، fdoulati@ut.ac.ir

<sup>\*</sup> عهده‌دار مکاتبات

دریافت: ۹۱/۰۴/۱۰؛ دریافت اصلاح شده: ۹۲/۰۵/۶؛ پذیرش: ۹۲/۰۷/۹؛ قابل دسترس در تاریخ: ۹۲/۰۷/۱۵

### پکیده

سازند شوریجه یکی از سازندهای مخزنی گازی واقع در حوضه کپه داغ شمال خاور ایران می‌باشد که جزء سازندهای بسیار سخت از لحاظ حفاری است. شناخت خصوصیات فیزیکی و مکانیکی این سازند سبب برنامه ریزی دقیق‌تری برای انجام عملیات حفاری آن خواهد شد و می‌توان از صرف هزینه‌های بالای حفاری در برخورد با این سازند تا حدودی جلوگیری نمود. در این مطالعه با انجام آزمایشات مقاومت فشاری سه محوری، آزمایش تخلخل (با اشباع آب و گاز هلیم) و شاخخص سایش سرشار (CAI) بر روی نمونه‌های مغزه گرفته شده از این سازند و همچنین تهیه مقاطع نازک از این نمونه‌ها و تعیین کانی‌شناسی و بافت آنها، خصوصیات فیزیکی و مکانیکی این سازند مورد مطالعه قرار گرفت که در نهایت مشخص شد این نمونه‌ها حاوی کانی کوارتز فراوان و دارای بافت ساب آرکوز می‌باشند. همچنین، مقاومت فشاری این نمونه‌ها تحت آزمایش سه محوره در سه سطح تنش ۱۰، ۱۵ و ۲۰ (Mpa) بررسی و پارامترهای مقاومت برشی C و  $\Phi$  برای این نمونه‌ها به ترتیب  $15\text{MPa}$  و  $53/79$  درجه بدست آمد.علاوه، آزمایشات بیشتر نشان می‌دهد که این نمونه‌ها از لحاظ سایشی با توجه به میزان کوارتز بالا، در محدوده سنگ‌های خیلی ساینده قرار دارند. نتایج حاصل از این پژوهش می‌تواند در طراحی روش مناسب حفاری سازند شوریجه مورد استفاده قرار گیرد.

**واژه‌های کلیدی:** سرعت حفاری، مقاومت برشی، مقاومت فشاری سه محوری، سایش سرشار.

### ۱- مقدمه

تعیین خصوصیات فیزیکی و مکانیکی سنگ‌ها، امری حیاتی جهت برآوردهای عملیات حفاری می‌باشد. در حین عملیات حفاری با توجه به هزینه‌های سنگین آن، در هنگام برخورد با سازندهای بسیار سخت، حفاری به خصوصیات سازند وابسته است. متغیرهای حفاری در صورت عدم اطلاعات کافی درباره خصوصیات این لایه‌ها،

## باقری و همکاران: بررسی خصوصیات فیزیکی و مکانیکی سنگ مخزنی سازند شوریجه در یکی از چاههای واقع در حوضه کپه داغ ...

لایه‌های سخت مخزنی (مخزن گازی) در این حوزه می‌باشد، مشکل اصلی حفاری و زمان‌بری در هر عملیات حفاری بشمار می‌رود. در تصویر ۱ علاوه بر مشخص کردن لیتو‌لوژی سازندهای حفاری شده در میدان خانگیران، قابلیت حفاری این سازندها بر حسب فوت بر ساعت تعیین شده است که ملاحظه می‌شود پایین‌ترین نرخ حفاری در این میدان متعلق به سازند شوریجه می‌باشد.

پارامترهایی از قبیل وزن روی مته، سرعت دوران مته، وزن گل حفاری و ... می‌باشند. هرچند که خصوصیات سنگ و شرایط زمین شناسی، پارامترهای غیرقابل کنترل هستند (McGregor 1967, Beste et al. 2007). با این حال نرخ نفوذ مطلوب، انتخاب دستگاه حفاری مناسب، ساختار پتروگرافی سنگ، سختی آن، سایش، خصوصیات فیزیکی و مکانیکی سنگ در مرحله اول توسط مطالعات آزمایشگاهی تعیین می‌گردد (Bilim 2011). در حوزه کپه داغ، سازند شوریجه که جزء

| توصیف  | لیتو‌لوژی                           | حد زمانی | قابلیت حفاری ft/hr (بهاری، ۱۳۸۶) | سازند    |
|--|-------------------------------------|----------|----------------------------------|----------|
| شیل آهکی سبز- خاکستری در قالده ماسه سنگ                      | پالتوسن فوقانی تا اوخر انوسن .      |          | ۵۰.۱                             | خانگیران |
| کربناته با میان لایه‌های شیل و مارن آهکی و تا حدودی ماسه سنگ | پالتوسن                             |          | ۱۱                               | چهل کمان |
| آهک ماسه ای- شیل آهکی و لایه‌های نازک ماسه سنگ               | ماستریشن                            |          | ۲۰                               | کلات     |
| ماسه سنگ ضخیم لایه و شیل                                     | ماستریشن                            |          | ۸.۴                              | نیزار    |
| شیل آهکی خاکستری و میان لایه‌های مارن                        | سانتوین- کامپانین تا ماستریشن زیرین |          | ۱۶.۷                             | آبناخ    |
| شیل خاکستری روشن تا سفید و آهک خاکستری                       | - تورونین- کوئیاسین                 |          | ۷.۲                              | آبدراز   |
| شیل و ماسه سنگ گلوکوئیش سبز                                  | سنومانین                            |          | ۱۰                               | آیتمیر   |
| شیل خاکستری تا سبز همراه با میان لایه‌های سیلت و ماسه سنگ    | آلین                                |          | ۷.۱                              | سنگانه   |
| شیل و مارن خاکستری همراه با میان لایه‌های آهک                | آپین                                |          | ۴.۷                              | سرچشمه   |
| تناوب شیل و رسم قهوه ای- قرمز همراه با ماسه سنگ و کنگلومرا   | نوكومین                             |          | ۳.۹                              | شوریجه   |
| آهک همراه با میان لایه‌هایی از مارن و شیل                    | - آکسفوردین- کیمریجین               |          | ۴.۶                              | مزدوران  |

تصویر ۱- مشخصات سازندهای حفاری شده و قابلیت حفاری آنها در میدان خانگیران

لذا پایین آمدن تعداد روزهای کارکرد دکل حفاری و سریع تر رسیدن به لایه هدف با حفظ شرایط ایمنی دکل، تا حد زیادی از هزینه‌های این بخش خواهد کاست. این امر زمانی امکان پذیر است که با آگاهی از خصوصیات لایه‌های درون زمین، یک برنامه‌ریزی دقیق را جهت بالا بردن نرخ نفوذ و سرعت حفاری داشته باشند.

## ۲- زمین شناسی و موقعیت جغرافیایی نامیه مورد مطالعه

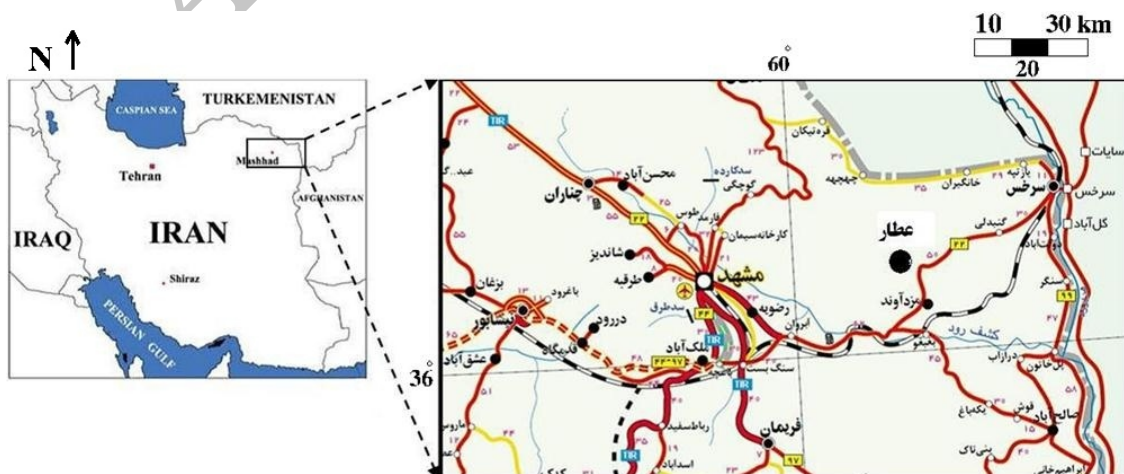
حوضه درون قاره‌ای کپه داغ در شمال شرق ایران، جنوب غرب ترکمنستان و شمال افغانستان پس از کوهزایی سیمیرین پیشین و بسته شدن پالتوتیس بین دو صفحه ایران و توران تشکیل شده است (Buryakovskiy 2001, Alavi et al. 1997, Ruttner 1991) (Berberian & King 1981). حوضه کپه داغ در ژوراسیک زیرین - میانی طی یک رژیم کششی شکل گرفته است (Garzanti & Gaetani 2002). بیش از ۶۰۰۰ متر از رسوبات این حوضه در محدوده سنی ژوراسیک میانی تا میوسن نهشته شده‌اند (Afsharharb 1979) و به پنج سکانس اصلی پیشرونده - پسرونده اختصاص داده می‌شوند (Moussaviharami & Bernner 1992).

موقعیت جغرافیایی این حوضه بین  $30^{\circ}$  تا  $35^{\circ}$ ،  $15^{\circ}$  تا  $28^{\circ}$  عرض شمالی و  $54^{\circ}$  تا  $54^{\circ}$  طول شرقی قرار دارد. وسعت آن ۵۵۰۰۰ کیلومتر مربع می‌باشد که  $\frac{2}{3}$  مساحت کل کشور را به خود اختصاص می‌دهد. این حوضه دوین حوضه هیدروکربنی ایران است (کاووسی ۱۳۸۸) (تصویر ۲).

در نقاط زیادی از کپه داغ به جز پایانه باختری آن (نواحی گندب کاووس) سنگ آهک‌های ژوراسیک بالا (سازند مزدوران) با ردیف آواری سرخ رنگی پوشیده می‌شود که از آن به نام سازند شوریجه یاد می‌شود (افشار حرب ۱۳۷۳).

تاکنون مطالعات زیادی بر روی خصوصیات سازند شوریجه انجام شده است. موسوی- حرمی و بربنر (Moussaviharami & Brenner 1992, 1993) روی تاریخچه دیاژنزی رسوبات سازند شوریجه و همچنین روی خصوصیات مخزنی این سازند مطالعاتی انجام دادند. موسوی حرمی (۱۳۶۶) محیط رسوبی سازند شوریجه را در شرق کپه داغ مورد مطالعه قرار داده است. اخوان و همکارانش (۱۳۸۰) بر روی سیالات منفذی سازند شوریجه با استفاده از نمودارهای ژئوفیزیکی مطالعاتی را انجام داده اند. بهاری (۱۳۸۶) ضرایبی را برای مدل نرخ نفوذ بورگوینه و یانگ جهت پیش‌بینی سرعت حفاری در سازندهای مختلف میدان خانگیران محاسبه نموده است.

نجفی و همکارانش (۱۳۸۷) سنگ چینه‌شناسی سازند شوریجه را در مقطع رادکان- بارو مورد مطالعه قرار داده است. جمالی و همکارانش (۱۳۸۹) بر روی رخساره‌ها و محیط رسوبی سازند شوریجه در برش حمام قلعه مطالعاتی انجام داده‌اند ولی تاکنون خصوصیات فیزیکی و مکانیکی این سازند جهت برنامه‌ریزی‌های مناسب برای رفع مشکل زمان‌بری حفاری آن انجام نشده است. آگاهی از خصوصیات فیزیکی و مکانیکی سازند شوریجه، سبب برنامه‌ریزی بهتری برای مقابله با این سازند در حین حفاری خواهد شد. از مهم‌ترین پارامترهای مؤثر بر سرعت حفاری می‌توان به زایش و منشأ تشکیل سنگ‌ها، سختی سنگ، بافت سنگ (شکل و اندازه دانه‌های سنگ)، تخلخل، چگالی، سایندگی، الاستیسیته و پلاستیسیته، مقاومت فشاری، مقاومت کششی، سفتی سنگ، RQD و ویژگی‌های توده سنگ (درزه، شکاف و لایه‌بندی) اشاره کرد (Hoseinie et al. 2008). از بین ویژگی‌های ماده سنگ، مقاومت فشاری، سایندگی و سختی از اهمیت بیشتری نسبت به سایر پارامترها برخوردار می‌باشند. از آنجایی که بیش از نیمی از هزینه‌ها جهت استحصال هیدروکربن، صرف عملیات حفاری چاهها می‌شود،



تصویر ۲- موقعیت جغرافیایی منطقه مورد مطالعه واقع در قسمت شرقی ناحیه کپه داغ

آزمایش تعیین تخلخل با گاز هلیم که توسط اداره مدیریت اکتشاف شرکت ملی نفت ایران در دسترس قرار گرفته بود مقایسه گردید. در نهایت نیز آزمون شاخص سایش سرشار(CAI) بر روی دو نمونه (برای هر نمونه ۵ آزمایش) توسط اولین دستگاه ساخته شده ایران در دانشکده فنی دانشگاه تهران انجام شد.

### ۳-۲-بررسی کانی شناسی و بافتی نمونه ها

تأثیر خصوصیات بافتی روی ویژگی های فیزیکی و مکانیکی سنگ ها، سالهای زیادی است که مورد مطالعه قرار گرفته است و ارتباط نزدیکی بین این پارامترها وجود دارد (Ozturk et al. 2004). با توجه به مطالعات کانی شناسی و بافتی نمونه های اخذ شده از این سازند توسط تهیه مقاطع نازک (تصویر ۳) و استفاده از میکروسکوپ الکترونی، درصد کانی کوارتز این نمونه ها بیش از ۷۵ درصد تخمین زده شد که همراه با کانی فلذیات، کانی های اصلی تشکیل دهنده این نمونه ها می باشند. اطراف این کانی ها را سیمان سلیسی فرا گرفته است. همچنین، از پدیده های قابل مشاهده در این مقاطع، سوسوریتی شدن کانی پلاژیوکلاز می باشد یا بعبارتی پلاژیوکلاز به مسکوویت و بیوتیت تبدیل می شود که درنهایت بافت رسوبی این نمونه ها بر اساس مطالعه مقاطع نازک و بر اساس طبقه بندي فولک(۱۹۷۴)، ساب آركوز شناخته شد.

### ۳-۳-آزمایش مقاومت فشاری سه محدودی (TCS)

از آنجایی که سنگ های پوسته زمین را معمولاً سنگ های اطراف محاصره کرده اند، بر هر بخش کوچک آنها یک فشار جانبی اعمال می شود. بنابراین هر بخش (المان) در موقعیت فشاری سه محوره (سه جانبی) قرار دارد، بنابراین برای پی بردن به رفتار واقعی سنگ در مقابل بارهای وارده در محل، اندازه گیری مقاومت فشاری سه محوره آنها اهمیت بسزایی دارد (Vutukuri & Katsuyama 1994). این آزمایش برای تعیین مقاومت نمونه های استوانه ای سنگ تحت فشار سه محوری به کار می رود و در واقع شبیه سازی شرایط واقعی سنگ در محل می باشد (فهیمی فر و سروش ۱۳۸۰). مقاومت فشاری و قابلیت حفاری بطور تجربی و از طریق انجام آزمایش در اوایل دهه ۱۹۶۰ به یکدیگر ارتباط داده شده اند. هر چند که مقاومت فشاری باید به عنوان یک تابع از میزان تنفس جانبی توصیف شود، این مفهوم که مقاومت فشاری با افزایش تنفس جانبی افزایش می باید به خوبی شناخته شده و به سادگی با معیار شکست موهر- کلمب قابل توصیف می باشد (Spar et al. 1995). آنالیز فرآیند شکست سنگ (RFPA) بعنوان ابزاری از سال ۱۹۹۵ ارائه شده است (Tang & Tang 2011). بررسی شکست

گاز در کربنات های سازند مزدوران (ژوراسیک بالایی) و سلیسی- آواری های سازند شوریجه (نئوکومین) در این حوضه وجود دارد. بخش شرقی این حوضه توسط دریای اپی کانتیننتال اواخر ژوراسیک تا اوائل کرتاسه پوشیده شده و در همین زمان دریا به سمت شمال غرب عقب نشینی کرد. نتیجه این فاز عقب نشینی در ستون چینه شناسی این حوضه، تشکیل باندهای قرمز رنگ ضخیمی است که در محیط رودخانه ای Fluvial رسوب کرده اند، و بنام سازند شوریجه ثبت شده است. افسار حرب (۱۳۷۳) سازند شوریجه را در محل برش الگو (دره خور) به سه بخش آواری تبخیری زیرین، کربناتی تبخیری میانی و بخش آواری بالایی معروفی کرده است. تجزیه و تحلیل رسوب شناسی این رسوبات پس رونده نشان می دهد که رسوبات دانه درشت تر مربوط به بخش پائینی و میانی و به شکل توده های صفحه مانند در یک سیستم رودخانه ای بریده بریده دانه درشت کم انحنا (Low sinuosity) coarse-grained braided stream system) بالایی از رسوبات دانه ریزتر که در یک سیستم رودخانه میاندري با زوايه شیب کم بنام رسوبات پوینت بار (Point Bar)، تشکیل شده است. سازند شوریجه از انتهایی ترین نقطه مرز شمال خاوری ایران تا برش خواجه روشنایی، فاقد نهشته های دریایی است و تنها براساس موقعیت چینه شناسی، سن این سازند را نئوکومین درنظر گرفته اند (افشار حرب ۱۳۷۳). در مطالعه حاضر از اطلاعات زمین شناسی و حفاری مربوط به یک حلقه چاه که در رأس ساختمان عطار حفاری گردیده است استفاده شد. ساختمان عطار حدوداً ۱۰ کیلومتری شمال شرقی مزداوند، در فاصله ۱۰۰ کیلومتری شرق- شمال شرق مشهد و ۶۵ کیلومتری جنوب غربی سرخس قرار دارد.

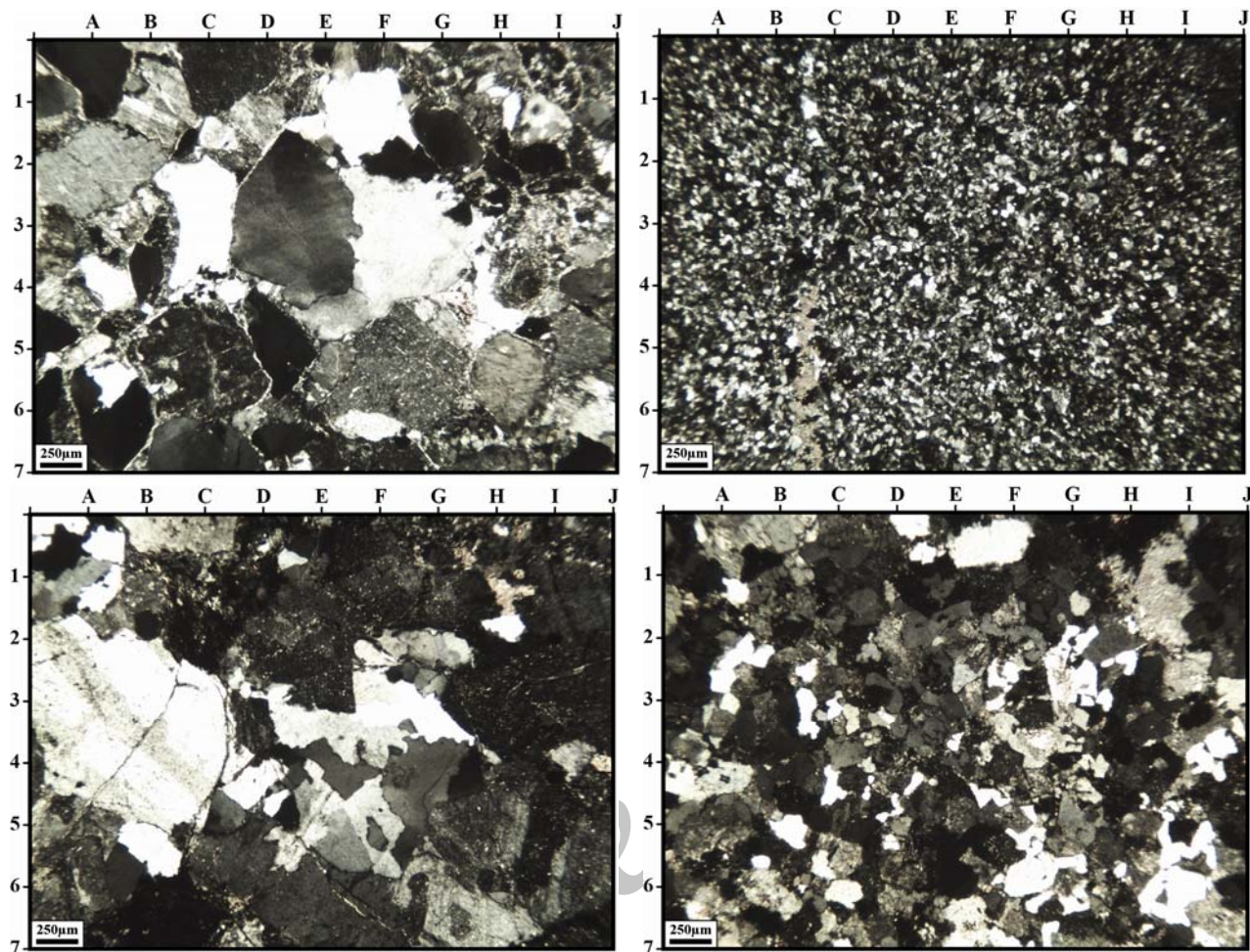
## ۳-۴-نتایج و بحث

### ۳-۴-۱-روش مطالعه

در مطالعه حاضر که بر مبنای کارهای آزمایشگاهی صورت گرفته است، از مغزه های تهیه شده سازند شوریجه (که از طرف اداره مدیریت اکتشاف شرکت ملی نفت ایران در دسترس قرار گرفته بود)، استفاده گردید. ابتدا تعدادی مقطع نازک برای مشخص نمودن وضعیت کانی شناسی و خصوصیات بافتی نمونه های موجود تهیه گردید. سپس بر روی سه نمونه از مغزه های موجود، آزمایش مقاومت فشاری سه محوری که شبیه سازی شرایط نمونه سنگ در محل می باشد، در سه سطح تنفس جانبی ۵، ۱۰ و ۱۵ مگاپاسکال در آزمایشگاه مکانیک سنگ دانشگاه تهران طبق استاندارد آی اس آرام (International Society for Rock Mechanics, ISRM) تنفس جانبی انجام گردید. پس از آن، آزمایش تخلخل به روش اشباع آب بر روی یک نمونه انجام شده و با نتایج

باقری و همکاران: بررسی خصوصیات فیزیکی و مکانیکی سنگ مخزنی سازند شوریجه در یکی از چاههای واقع در حوضه کپه داغ ...

سنگ در بسیاری از موارد از قبیل سدها، تونل‌ها، حفاری‌ها و ... پارامتر مهمی محسوب می‌شود (Tang & Hudson 2010).



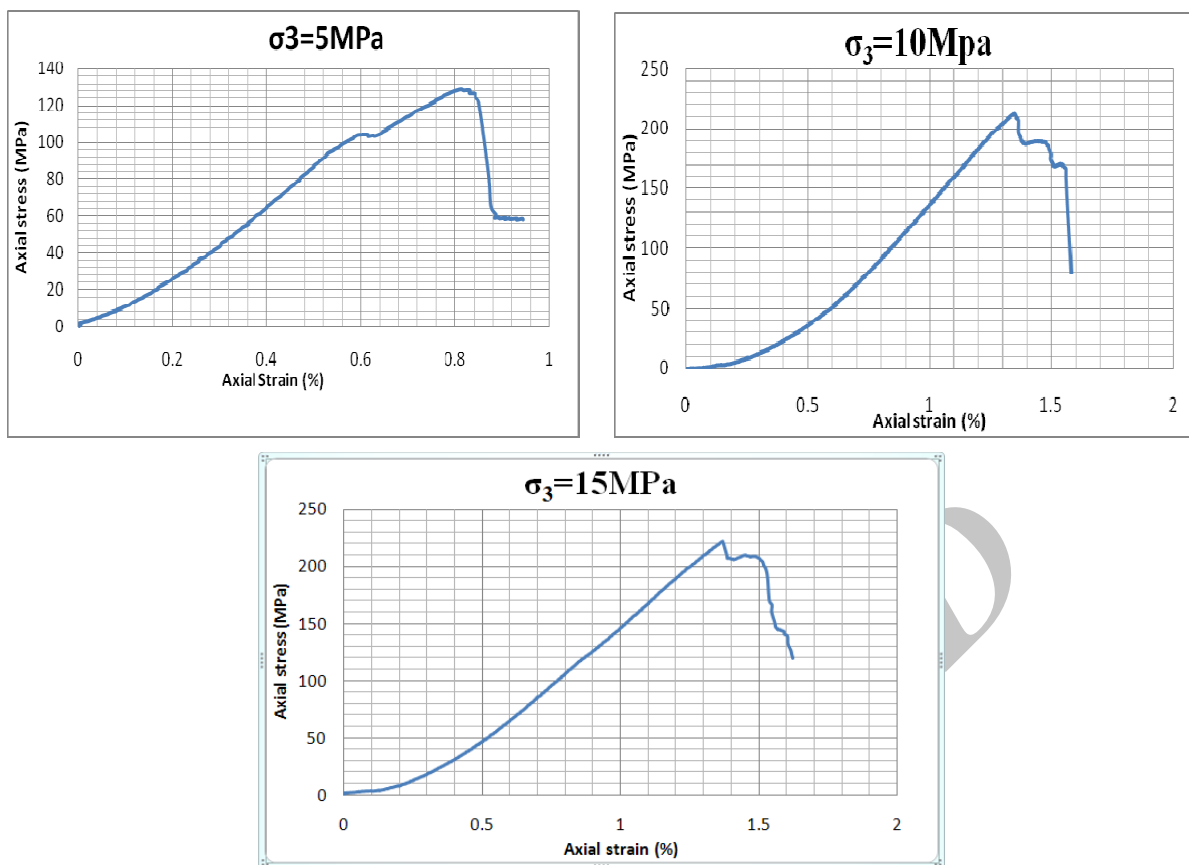
تصویر ۳- مقادیر بالای کانی کوارتز در مقاطع تهیه شده از نمونه‌های مغزه سازند شوریجه

رفته این فشار افزایش یافته و پس از تغییر شکل، نمونه با شکست مواجع شد. برای دو نمونه دیگر نیز با اعمال فشار جانبی (۵۳) مورد نظر، فشار عمودی (۵۱) اعمال و نمونه شکسته شد.

نتایج بدست آمده حاکی از افزایش فشار عمودی بر حسب افزایش فشار جانبی می‌باشد که پس از تغییر شکل معین، شکست در نمونه حاصل گردیده است. در تصویر ۵ نمودار (۵۱-۵۳) براساس نتایج بدست آمده از آزمایش سه محوری در سه سطح تنش ترسیم شده است. تصویر ۶ شکست برشی یکی از نمونه‌ها پس از بارگذاری در آزمایش سه محوره را نشان می‌دهد.

مشخصات سه نمونه مورد آزمایش در شرح جدول ۱ به ترتیب آورده شده است همچنین به همراه این مشخصات، نتایج حاصل از اعمال فشارهای جانبی و عمودی در لحظه شکست سنگ نیز در شرح جدول مربوطه ارائه گردیده است.

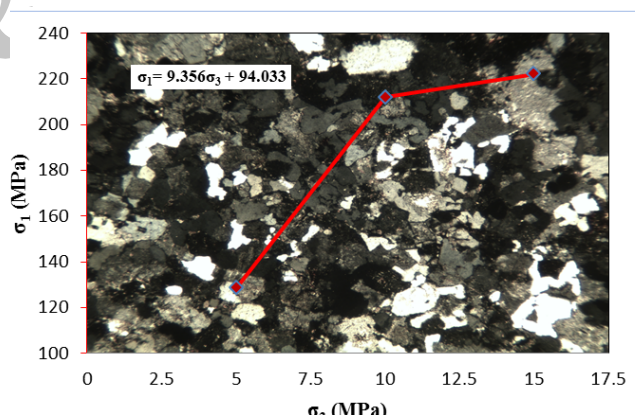
برای تعیین پارامترهای مقاومت برشی نمونه سنگ در شرایط تنش-های جانبی ۵، ۱۰ و ۱۵ مگاپاسکال، آزمون ۳ محوری بر روی سه نمونه سنگ با نسبت طول به قطر (L/D) بین ۲ تا ۳ طبق استاندارد ISRM انجام گردید. در تصویر ۴ نمودارهای تنش-کرنش برای هر یک از نمونه‌ها در سه سطح تنش یاد شده که معرف تغییرات شکل نمونه (کرنش) بر حسب افزایش نیرو (تنش) تا لحظه شکست نمونه می‌باشد، نشان داده شده است. این نمونه‌ها ابتدا توسط دستگاه برش با نسبت (L/D) مشخص در دو طرف بصورت کاملاً مسطح برش داده شدند سپس نمونه‌ها به ترتیب در سه سطح تنش جانبی مختلف مورد آزمایش قرار داده شدند به این صورت که هریک از نمونه‌ها بوسیله غشاء لاستیکی محصور و در سلول مخصوص آزمایش سه محوره قرار داده شدند. پس از اعمال فشار جانبی (۵۳) مورد نظر برای نمونه اول در اطراف غشاء لاستیکی، فشار عمودی (۵۱) به نمونه اعمال و رفته



تصویر ۴ - نمودار تنش-کرنش آزمون سه محوری در سه سطح تنش جانبی ۵، ۱۰ و ۱۵ مگاپاسگال



تصویر ۶ - شکست برشی در یکی از نمونه‌ها پس از بارگذاری



تصویر ۵ - نمودار  $\sigma_1 - \sigma_3$

جدول ۱- مشخصات نمونه های ماسه سنگی سازند شوریجه در آزمایش سه محوری

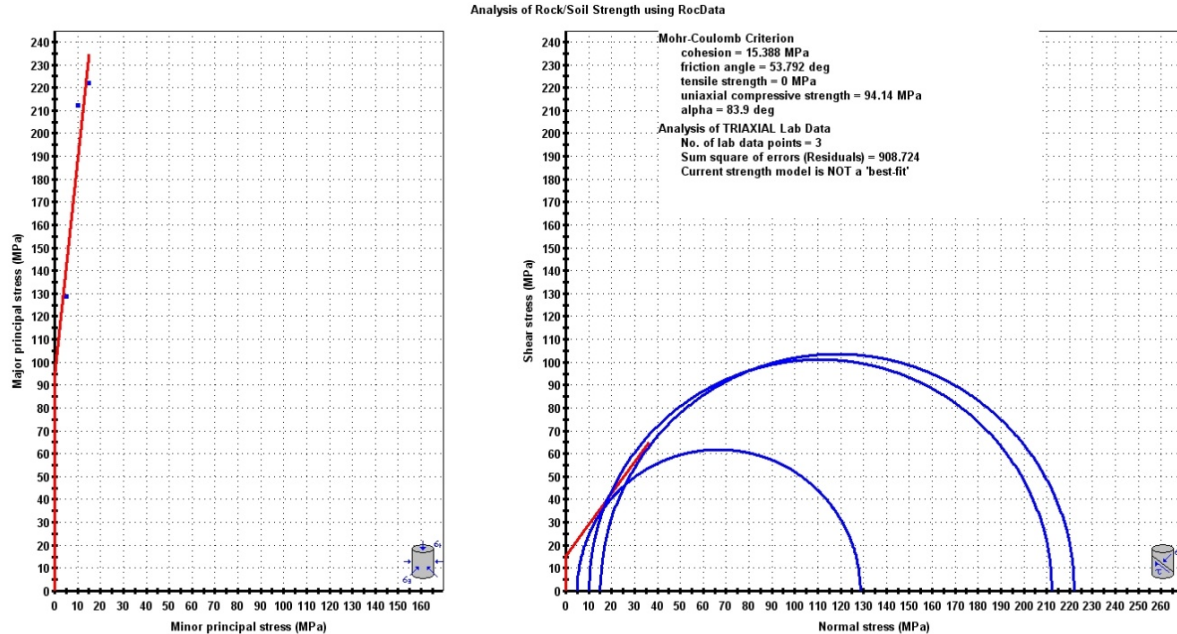
| نمونه | قطر نمونه (mm) | طول نمونه (mm) | $\sigma_3$ فشار جانبی (Mpa) | $\sigma_1$ فشار عمودی (Mpa) |
|-------|----------------|----------------|-----------------------------|-----------------------------|
| A     | ۶۶/۲۸          | ۱۶۶/۸۲         | ۵                           | ۱۲۸/۶۱                      |
| B     | ۶۶/۳۸          | ۱۶۹/۹۶         | ۱۰                          | ۲۱۲/۳۱                      |
| C     | ۶۶/۳۸          | ۱۶۷/۱۸         | ۱۵                          | ۲۲۲/۱۷                      |

می‌دهد که تنش اعمال شده از مجموع مقاومت‌های چسبندگی مواد (C)، و مقاومت اصطکاکی صفحات لغزشی ( $\emptyset$ ) یا صفحه شکست تجاوز کند (Bourgoyne et al. 1986).

به منظور محاسبه پارامترهای مقاومت برشی این نمونه‌ها از معیار شکست موهر- کلمب استفاده گردید.

در تصویر ۷ دایر موهر در سه سطح تنش، توسط نرم‌افزار RocData ترسیم شده است. بر این اساس مقدار چسبندگی این نمونه سنگ‌ها  $15/38$  (Mpa) و مقدار اصطکاک داخلی نمونه‌ها نیز معادل  $53/79$  درجه محاسبه گردیده است.

معیارهای شکست شکل‌های مختلفی دارند و پارامترهای آنها نسبت به یکدیگر متفاوت می‌باشد (Franklin 1970, Ohnaka 1973, Murrel 1965, Johnston 1985, Bieniawski 1974, Hoek et al. 1992, Hoek & Brown 1980) بسیاری از محققان علم مکانیک سنگ در یک تحقیق برای مرتب ساختن مقاومت اندازه‌گیری شده سنگ در قسمت‌های ساده تراکمی به فرآیند حفاری از چندین معیار شکست استفاده کردند (Maurice 2005, Han et al. 2005, Gerbaud et al. 2006) یکی از معیارهای شکست که غالباً مورد استفاده قرار می‌گیرد، معیار شکست موهر- کلمب می‌باشد. بر طبق معیار شکست موهر- کلمب، نقطه تسیلیم یا شکست سنگ زمانی رخ



تصویر ۷- ترسیم دایر موهر در سه سطح تنش مورد آزمایش توسط نرم افزار RocData

در رابطه (۱) معادل مقاومت تراکمی تک محوری نمونه سنگ می- باشد. بنابراین، مقاومت فشاری تک محوری نمونه سنگ فوق در شرایط محیط و تحت تنش همه جانبه با توجه به رابطه (۱)، برابر با  $94/033$  (Mpa) محاسبه شد. همچنین پارامترهای مقاومت برشی نمونه سنگ فوق نیز با توجه به نتایج به دست آمده و پوش گسیختگی مماس بر دایر موهر رسم شده در تصویر ۷، در شرح جدول ۲ ارائه شده‌اند.

جدول ۲- پارامترهای مقاومت برشی سنگ

Φ (°) اصطکاک داخلی نمونه C (MPa) چسبندگی نمونه

$15/38$

$53/79$

برای پی بردن به مقاومت توده سنگ تحت شرایط مختلف و محیط‌های تنش متفاوت، از معیار شکست موهر- کلمب براساس تنش‌های (۵۱- ۵۳) استفاده شد. با ترسیم منحنی (۵۱-۵۳) مشاهده می‌گردد که بهترین منحنی بازاش شده خطی می‌باشد که محور (۵۱) را در یک فاصله‌ای نسبت به عرض از مبدأ این محور قطع می‌کند. معادله این خط به صورت زیر است:

$$y = \tan \psi (\sigma_3) + \sigma_3 \quad (1)$$

$$y = 9/356 (\sigma_3) + 94/033$$

در این رابطه، ضریب  $\tan \psi$  معادل شیب خط بوده و به صورت رابطه ۲ بیان می‌گردد.

$$\tan \psi = \frac{1+\sin \emptyset}{1-\sin \emptyset} \quad (2)$$

### ۳-۴ آزمایش تخلخل

اين دو آزمایش محاسبه گردید. جدول ۳ نتایج حاصل از آزمایش تخلخل نمونه به روش اشباع آب را نمایش می دهد. میزان تخلخل اندازه گیری شده با اين روش ۹/۶۷ درصد محاسبه شد. همچنین نتایج آزمایش تخلخل ۵ نمونه به روش گاز هلیم نیز در شرح جدول ۴ ارائه شده است . میانگین تخلخل حاصل از اندازه گیری با گاز هلیم در ۵ نمونه ۹/۲۳ درصد محاسبه شده است. مشاهده می شود تخلخل اندازه گیری شده به روش اشباع آب با میانگین تخلخل اندازه گیری شده به روش گاز هلیم نزدیک بهم می باشد.

به منظور اندازه گیری تخلخل نمونه بوسیله اشباع آب به اين صورت عمل شد که نمونه کاملاً خشک از طریق قرار دادن نمونه در آون به مدت ۲۴ ساعت و نمونه کاملاً اشباع توسط قرار دادن نمونه در آب برای مدت معین (۴۸ ساعت) آماده سازی و توسط ترازو، جرم در هر حالت محاسبه گردید.

تخلخل کمیت اساسی مورد نیاز برای محاسبات حجمی مخزن و توصیف فابریک سنگ محسوب می شود (Lucia 1999) و يکی از اساسی ترین پارامترهای مخزنی است، زیرا بیانگر مقدار ذخیره هیدروکربن در مخزن می باشد. اين پارامتر علاوه بر اينکه به صورت مستقیم توسيط بررسی های آزمایشگاهی روی مغزه اندازه گیری می شود، به صورت غيرمستقیم نیز از طریق آنالیزهای پتروفیزیکی نمودارهای چاه قابل محاسبه است که دارای محدوده ای بين ۱ و ۳۵ است (Lucia 1983). در اینجا ابتدا آزمایش تخلخل به روش اشباع آب بر روی يکی از نمونه های موجود انجام شد سپس داده های حاصل از اين آزمایش با نتایج حاصل از آزمایش اندازه گیری تخلخل به روش اندازه گیری گاز هلیم که توسط مدیریت اکتشاف شرکت ملي نفت در دسترس قرار گرفته بود مقایسه و میزان خطای نسبی موجود بین نتیجه

جدول ۳- پارامترهای فيزيکي اندازه گیری شده از نمونه تحت آزمایش با اشباع آب

|   | طول نمونه نمونه (mm) | قطر نمونه (mm) | وزن اشباع (gr) | وزن خشک (gr) | وزن خشک (gr/cm <sup>3</sup> ) | چگالی اشباع (gr/cm <sup>3</sup> ) | چگالی (%) | خلخل آب (%) |
|---|----------------------|----------------|----------------|--------------|-------------------------------|-----------------------------------|-----------|-------------|
| D | ۱۳۴/۱۴               | ۶۶/۳۸          | ۱۳۲۴/۰۵        | ۱۳۶۷/۰۹      | ۱۳۲۲/۲۲                       | ۲/۸۵                              | ۲/۹۴      | ۳/۳۹ ۹/۶۷   |

در روش اندازه گیری تخلخل بوسیله فشار گاز هلیم، ابتدا از نمونه ها مغزه گیری مجدد انجام می شود تا نمونه ها یا پلاگ هایی با قطر ۱ تا ۱/۵ اینچ (بر حسب اندازه سلول دستگاه) حاصل گردند. سپس این نمونه ها

جدول ۴- پارامترهای فيزيکي اندازه گیری شده از نمونه های تحت آزمایش تخلخل با گاز (گزارش آزمایشگاهی از مدیریت اکتشاف شرکت ملي نفت ایران)

|         | شماره نمونه | وزن نمونه (gr) | حجم دانه (cm <sup>3</sup> ) | چگالی دانه (gr/cm <sup>3</sup> ) | تخلخل (%) |
|---------|-------------|----------------|-----------------------------|----------------------------------|-----------|
| ۱       | ۱۸۹/۱       | ۷۰/۹           | ۲/۶۷                        | ۶/۸۱                             |           |
| ۲       | ۱۸۵/۹       | ۷۰/۲۷          | ۲/۶۵                        | ۱۱/۷۸                            |           |
| ۳       | ۱۸۹/۸۸      | ۷۱/۴           | ۲/۶۶                        | ۱۰/۹۷                            |           |
| ۴       | ۱۹۱/۱۳      | ۷۱/۳۸          | ۲/۶۸                        | ۷/۱۵                             |           |
| ۵       | ۱۸۴/۶۲      | ۶۹/۱۱          | ۲/۶۷                        | ۹/۴۶                             |           |
| میانگین | -           | -              | -                           | ۹/۲۳                             |           |

تخلخل حاصل از اندازه گیری با اشباع آب می باشد. در نتیجه میزان خطای نسبی بین اين دو آزمایش برابر با ۴/۷۶۷ درصد محاسبه شد.

میزان خطای نسبی بین نتایج بدست آمده از آزمایش تخلخل بوسیله اشباع آب و تخلخل حاصل از اندازه گیری به روش گاز هلیم از رابطه (۳) محاسبه گردید:

### ۴-۵ آزمایش سایش سرشار (CAI)

سایندگی را معياري از میزان خوردگی ابزار حفاری توسط سنگ بکر بيان می کنند. میزان سایندگی سنگ توسط عوامل محدود و شناخته

$$\text{رابطه (3)} \quad \frac{\Phi_{he} - \Phi_{wt}}{\Phi_{he}} \times 100 = \text{خطای نسبی}$$

که در آن،  $\Phi_{he}$  میانگین تخلخل محاسبه شده با گاز هلیم و  $\Phi_{wt}$

گرفته می‌شود. در ایران، سازمان مدیریت و برنامه‌ریزی، میزان کوارتر سنگ را به عنوان معیاری جهت تخمین میزان ساینده سنگ، در فهرست بهای خدمات ژئوتکنیکی منظور نموده است (علمی اسدزاده و عماریان ۱۳۸۵). آزمایش سایش سرشار دارای این مزیت است که به طور اتوماتیک اثر ترکیبی سختی و تماس کانی‌های ساینده، اندازه و شکل دانه، خصوصیات مواد چسبنده بین کانی‌ها و مقاومت فشاری سنگ را با آنچه که در واقعیت حفاری وجود دارد، اندازه‌گیری می‌نماید. بنابراین، ارتباط آن با دیگر پارامترهای فیزیکی و مکانیکی سنگ مشهود می‌باشد. علاوه بر این، روند این آزمایش با مکانیزم خراشی حفاری دورانی کاملاً همخوانی و مطابقت دارد (عماریان و همکاران ۱۳۸۲). از نظر تعداد آزمایش، ۳-۲ آزمایش برای نمونه‌های سنگ همگن با دانه‌های ریز و ۵ یا بیشتر از ۵ آزمایش برای نمونه‌هایی با اندازه دانه بیشتر از ۱ mm پیشنهاد شده است (Plinninger et al. 2004). در این آزمایش که با دستگاه ساخته شده در دانشکده فنی دانشگاه تهران (تصویر ۸) انجام گرفته است، دو پین با سختی ۴۳ و ۵۵ HRC مورد استفاده قرار گرفت و تعداد آزمایش‌ها نیز بر اساس نوع نمونه‌های در دسترس انتخاب شد. با توجه به نوع نمونه‌های در دسترس که ماسه‌سنگی می‌باشند و دارای دانه‌های بزرگتر از mm1 نیز هستند، برای هر پین بر روی هر نمونه ۵ آزمایش انجام شد.

شده‌ای کنترل می‌شود (Thuro & Plinniger 2003, Plinniger et al. 2002, Thuro et al. 2006) انتخاب یک روش حفاری اقتصادی و تخمین نرخ‌های حفاری و هزینه‌های فرسایش، از مراحل اولیه در پروژه‌های اکتشافی است. در این مرحله از پروژه، اکثر مهندسین ژئوتکنیک و زمین‌شناس با پارامترهای مختلف ژئوتکنیکی به منظور تخمین نرخ‌های حفاری و فرسوده شدن (زوال) ابزار، مواجه می‌شوند (Plinniger et al. 2004). آزمایش اندیس سایش سرشار اولین بار در اواسط سال ۱۹۸۰ از سوی انتستیوی معدن‌کاری زغال‌سنگ فرانسه معرفی شد (عطایی و حسینی ۱۳۸۸). این آزمایش بر پایه یک سوزن استیل یا پین با کیفیت و شکل هندسی تعریف شده است که بر روی ۱۰ میلی‌متر از یک نمونه سنگ سخت تحت فشار استاتیک ۷۰ نیوتون، خراش می‌اندازد. سپس عدد سرشار، از روی قطر اندازه گیری شده از صفحه فرسایش حاصل بر روی سوزن آزمایش با استفاده از رابطه (۴) محاسبه می‌شود.

$$\text{Rabteh (4)} \quad \text{CAI} = 10 \times \frac{d}{c}$$

که در آن، CAI اندیس سایش سرشار (بدون بعد)، d میزان قطر ساییده شده نوک پین (mm) و c فاکتور تصحیح واحد (c=1mm) می‌باشد (Kasling & Thuro 2010). سختی پین‌ها در سراسر جهان به صورت استاندارد بین ۴۰-۴۳ HRC و ۵۴-۵۶ HRC در نظر



تصویر ۸ - نمایی از دستگاه اندازه‌گیری شاخص سایش سرشار مستقر در دانشکده فنی دانشگاه تهران

$$\text{CAI} = 0.99 \times \text{CAI}_S + 0.48 \quad \text{Rabteh (5)}$$

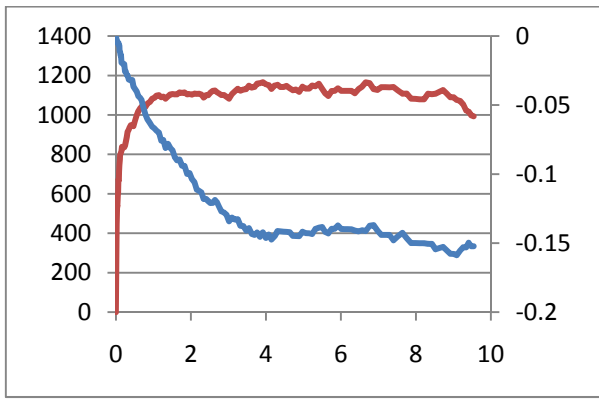
که در رابطه (۲)، CAI شاخص سایش سرشار بر روی سطح ناهموار نمونه و CAI<sub>S</sub> شاخص سایش سرشار بر روی سطح صاف و صیقلی نمونه می‌باشد. برای انجام آزمایش سایش سرشار، ابتدا نمونه‌ها بوسیله دستگاه، بر شد و سطحی صاف و بدونه هوازدگی ایجاد گردید. پس از نصب نمونه در گیره دستگاه، پین مورد نظر به وزنه

آزمایش سرشار (CAI) به سطح نمونه سنگ نیز ارتباط دارد. طبق مطالعات پلینینگر و همکارانش (Plinniger et al. 2003) مقادیر CAI بدست آمده از آزمایشاتی که بر روی سطوح تازه شکسته شده و ناهموار نمونه‌ها انجام گرفت، در حدود ۰/۵ برابر بزرگتر از مقدار CAI نمونه‌هایی بود که سطح آنها صاف و صیقلی شده بود. رابطه اصلاح شده زیر، ضرایب بالایی از همبستگی را نشان می‌دهد.

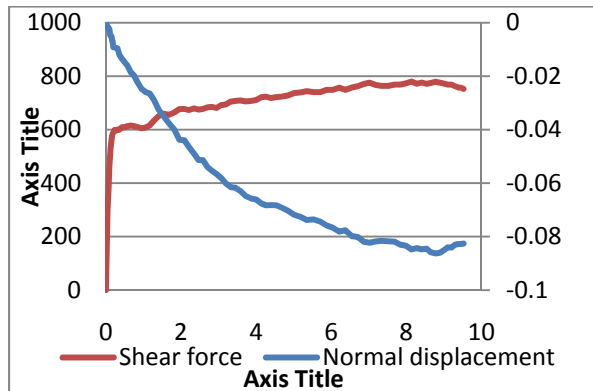
## باقری و همکاران: بررسی خصوصیات فیزیکی و مکانیکی سنگ مخزنی سازند شوریجه در یکی از چاههای واقع در حوضه کپه داغ ...

لنز ۲۱۵ / Wetziar و با بزرگنمائی ۱۶۰ برابر استفاده گردید. سپس از حاصل ضرب عدد قرائت شده از میزان سایش پین که با استفاده از خط کش مدرج میکروسکوپ اندازه گیری شد در عدد ۱۰، اندیس سایش سرشار محاسبه گردید. نمونه‌های مورد آزمایش پس از ایجاد خراش با دو پین مختلف در تصویر ۱۰ نشان داده شده اند.

هفت کیلوگرمی متصل شد و نوک تیز پین بر روی نمونه سنگ قرار داده شد. دسته دستگاه جهت ایجاد خراشی به اندازه یک سانتی‌متر در مدت زمان یک ثانیه کشیده شد. تصویر ۹ مقدار نیروی برشی و جابجایی را برای دو پین مورد نظر نشان می‌دهد. پس از ایجاد خراش، قطر سطح ساییده شده پین در زیر میکروسکوپ قرائت گردید. میکروسکوپ مورد استفاده جهت این قرائت، میکروسکوپ Lietz با



(ب)



(الف)

تصویر ۹- منحنی مقدار نیروی برشی و جابجایی برای پین (الف) HRC ۴۳ و (ب) HRC ۵۵



تصویر ۱۰- نمایی از نمونه‌ها پس از ایجاد خراش در آزمایش سرشار با دو پین مختلف

جدول (۵) میزان قرائت شاخص سایش سرشار را برای آزمایشات انجام شده با دو پین ۴۳ و ۵۵ HRC را نشان می‌دهد. آزمایش انجام شده بر روی سطوح کاملاً صاف و صیقلی نمونه‌ها گرفته است. میانگین مقادیر بدست آمده از آزمایش سایش سرشار با دو پین مختلف حاکی از این مطلب می‌باشد که این نمونه‌ها با توجه به جدول (۶) در محدوده سنگ‌های ساینده تا بسیار ساینده قرار می‌گیرند.

جدول ۵- مقادیر CAIs بدست آمده با پین ۴۳ و ۵۵ HRC

| شماره آزمایش | پین با مقاومت (HRC ۴۳) | پین با مقاومت (HRC ۵۵) |
|--------------|------------------------|------------------------|
| ۱            | ۳/۸۸                   | ۳/۳۶                   |
| ۲            | ۳/۸۸                   | ۳/۵۶                   |
| ۳            | ۳/۰۲                   | ۳/۳۶                   |
| ۴            | ۳/۰۶                   | ۳/۲۹                   |
| ۵            | ۳/۳۳                   | ۳/۶                    |
| میانگین      | ۳/۵                    | ۳/۴۴                   |

جدول ۶ - طبقه‌بندی سایش سرشار

| معماریان و همکاران (۱۳۸۰) | (Cerchar 1986)       | (Michalopoulos et al. 2006) | شاخص سایش سرشار (CAI) |
|---------------------------|----------------------|-----------------------------|-----------------------|
| غیر ساینده                | نه چندان ساینده      | سایش بسیار کم               | ۰/۳ - ۰/۵             |
| کم ساینده                 | کمی ساینده           | کمی ساینده                  | ۰/۵ - ۱/۰             |
| نیمه ساینده               | سایش متوسط تا ساینده | سایش متوسط                  | ۱/۰ - ۲/۰             |
| ساینده                    | بسیار ساینده         | بسیار ساینده                | ۲/۰ - ۴/۰             |
| خیلی ساینده               | فوق العاده ساینده    | فوق العاده ساینده           | ۴/۰ - ۶/۰             |
| بسیار ساینده              | کوارتز               | -                           | ۶/۰ - ۷/۰             |

در داده های لرزه‌ای بازتابی، "مجموعه مقالات پنجمین همایش انجمن زمین‌شناسی ایران، دانشگاه تهران.

آدام تی بورگوین، جی. آر.، مارتین، ای. چنورت.، کیت کی، میلیم.، و یانگ، اف. اس. ، ۱۹۸۶، "مهندسی حفاری کاربردی"، ترجمه رزاق فامیان س. و جودی ب. ب.، انتشارات سنا، ۸۱۳ ص.

افشار حرب، ع.، ۱۳۷۳، "زمین‌شناسی کپه داغ طرح تدوین کتاب زمین‌شناسی ایران"، سازمان زمین‌شناسی و اکتشافات معدنی کشور، ۲۷۵ ص.

بهاری، ا.، ۱۳۸۶، "یافتن ضرایب مدل نرخ نفوذ بورگوینه و یانگ با روش بهینه سازی تراست - رجیون در میدان گازی خانگیران"، ماهنامه اکتشاف و تولید، شماره ۴۷.

جمالی، ا. م.، صادقی، ع.، و آدابی، م. ح.، ۱۳۹۰، "رخساره ها و محیط های رسوی سازند شوریجه در بررسی چینه شناسی حمام قلعه، جنوب کلات نادری"، فصلنامه زمین‌شناسی ایران، سال پنجم، شماره هفدهم: ۱۰۲-۱۷.

عطایی، م.، و حسینی، س. ۵.، ۱۳۸۸، "بررسی تأثیر ساینده برقابلیت حفاری سنگ ها"، فصلنامه علوم زمین، سال ۱۹ (۷۴): ۱۴۲-۱۳۷.

علمی اسدزاده، گ.، و معماریان، ح.، ۱۳۸۵، "بررسی ارتباط بین میزان سایش و بافت سنگ در نمونه هایی از سنگهای ساختمانی ایران"، نشریه دانشکده فنی، جلد ۴۰ (۱): ۱۰۳-۹۳.

فهیمی فر، ا.، و سروش، ح.، ۱۳۸۰، "ازمایش‌های مکانیک سنگ، مبانی نظری و استانداردها"، جلد اول، آزمون های آزمایشگاهی، شرکت سهامی آزمایشگاه فنی و مکانیک خاک، ۷۲۰ ص.

کاووسی، م. ع.، لاسمی، ی.، موسوی حرمسی، س. ر.، و شرکتی، ش.، ۱۳۸۸، "محیط‌های رسوی و چینه‌نگاری سکانسی نهشته‌های ژوراسیک بالایی (سازند مزدوران) در بخش های خاوری و مرکزی حوضه رسوی کپه داغ شمال خاور ایران"، رساله دکترا، ۱۰۱ ص.

معماریان، ح.، رستمی، ج. و عمری اترآباد، ح.، ۱۳۸۰، "بررسی سایش سنگ به عنوان مبنای جهت طبقه‌بندی سنگ‌های ایران"، پنجمین کنفرانس توپول ایران، دانشکده فنی دانشگاه تهران.

معماریان، ح.، عمری اترآباد، ح. و نجفی، ع.، ۱۳۸۲، "انتخاب سرمهنهای الماسه مغزه‌گیر برای حفاری‌های ژئوتکنیکی ایران"، ششمین کنفرانس توپول، دانشکده عمران دانشگاه علم و صنعت ایران، تهران.

موسوی حرمسی، س. ر.، ۱۳۶۶، "تفسیر محیط رسویگذاری سازند

#### ۴- نتیجه گیری

الف) با توجه به مطالعه مقاطع نازک تهیه شده از نمونه‌های در دسترس سازند شوریجه، کانی‌های اصلی در این نمونه‌ها کوارتز و فلدسپات می‌باشند و بافت رسوی این سنگ‌ها طبق طبقه‌بندی فولک، ساب آرکوز معرفی شد.

ب) تخلخل این نمونه‌ها طبق آزمایشات انجام شده به دو روش اشباع آب و گاز هلیم در حدود ۱۰ درصد شناخته شده که در محدوده سنگ‌های با تخلخل متوسط قرار می‌گیرند و از آنجایی که این سازند مخزن گازی می‌باشد، این محدوده تخلخل برای این سازند مناسب است.

پ) طبق آزمایش مقاومت فشاری سه محوری که در سه سطح تنش ۵، ۱۰ و ۱۵ مگاپاسکال انجام شد، پارامترهای مقاومت برشی این نمونه‌ها طبق معیار شکست موهر- کلمب محاسبه گردیده که میزان چسبندگی این نمونه‌ها ۱۵/۳۸ مگا پاسکال و مقدار اصطکاک داخلی این نمونه‌ها ۵۳/۷۹ درجه می‌باشد.

ت) طبق آزمایش شاخص سرشار، میزان ساینده این نمونه‌ها در حدود ۳/۵ می‌باشد و طبق طبقه‌بندی‌های معرفی شده، این سنگ‌ها در محدوده سنگ‌های ساینده تا بسیار ساینده قرار می‌گیرند و دلیل اصلی آن، داشتن مقادیر بالای کانی کوارتز در این نمونه‌ها است.

#### تقدیر و تشکر

از اداره مدیریت اکتشاف شرکت ملی نفت ایران بخاطر در اختیار گذاشتن داده‌ها و نمونه‌های مورد نیاز جهت انجام این پژوهش و آزمایشگاه مکانیک سنگ دانشکده فنی دانشگاه تهران و همچنین جناب آقای مهندس فرزاد فضی کارشناس ارشد حفاری اداره مدیریت اکتشاف شرکت ملی نفت ایران کمال تشکر را داریم.

#### مراجع

اخوان، ح.، رضایی، م. ر.، اخروی، ر. و موسوی حرمسی، س. ر.، ۱۳۸۰، "تعیین لیتولوژی سیالات متذکر سازند شوریجه توسط داده های رقومی (خام و ارزیابی شده) نمودارهای ژئوفیزیکی و کاربرد آن

- 2008**, "Development of a new classification system for assessing of Rock mass Drillability index (RDi)", *International Journal of Rock Mechanics and Mining Science*, Vol. 45: 1-10.
- Johnston, J., 1985**, "Strength of Intact Geomechanical Materials", *Journal of Geotechnical Engineering, Div., ASCE*, Vol. 111: 730 -749.
- Kasling, H., & Thuro, K., 2010**, "Determining abrasivity of rock and soil in the laboratory", *Francis Group, London, ISBN 978-0-415-60034-7*.
- Lucia, F. J., 1983**, "Petrophysical parameters estimated from visual description of carbonate rocks: a field classification of carbonate pore space", *Journal Petrol. Technol March*: 626-637.
- Lucia, F.J., 1999**, "Carbonat Reservoir Characterization", *New York, Springer- Verlag*, 226 pp.
- Maurice, B., 2005**, "More Rock Mechanics Issues in Drilling", *Argentina SPE 2005 Course on Earth Stresses and Drilling Rock Mechanics*.
- McGregor, K., 1967**, "The drilling of rock", *London: C.R. Books Ltd.*
- Michalakopoulos, T., Anagnostou, V., Bassanou, M., & Panagiotou, G., 2006**, "The influence of steel stylus hardness on the Cerchar abrasiveness index value", in *International Journal of Rock Mechanics and Mining Sciences*, Vol. 43 (2): 321-327.
- Moussavihamami, S. R., & Brenner, R. L., 1993**, "Diagenesis of nonmarine petroleum, reservoir the Neocomian (Lower Cretaceous) Shurijeh Formation, Kopet-Dagh basin, NE Iran", *Journal Of Petroleum Geology*, Vol. 16 (1): 55-72.
- Moussavihamami, S. R., & Brenner, R. L., 1992**, "Geohistory analysis and petroleum reservoir characteristics of Lower Cretaceous (Neocomian) sandstone, eastern portion of Kopet-Dagh basin, northeast Iran", *A. A. P. G Bulliten*, Vol. 76: 1200-1208.
- Murrel, S. A. F., 1965**, "The Effect of Triaxial Stress Systems on the Strength of Rock at Atmospheric Temperatures", *Geophysics Journal*, Vol. 10: 231-281.
- Ohnaka, M., 1973**, "The Quantitative Effect of Hydrostatic Confining Pressure on the Compressive Strength of Crystalline Rocks", *Journal of Physics of the Earth*, Vol. 21: 125-140.
- Ozturk, C.A., Nasuf, E., & Bilgim, N., 2004**, "The assessment of rock cutability, and physical and mechanical rock properties from a texture coefficient", *The Journal of The South African Institute of Mining and Metallurgy*.
- Plinninger, R.J., Käsling, H., Thuro, K., & Spaun, G., 2002**, "Testingconditions and geomechanical properties influencing the CERCHAR abrasiveness index (CAI) value", *Int. J. RockMech. & Min. Sci.*, Vol. 40: 259-263.
- Plinninger, R. J., Kasling, H., & Thuro, K., 2004**, "Wear prediction in Hardrock Excavation using the CERCHAR abrasiveness index (CAI)", *Geomechanics Colloquium Schabert (ed)*, VGA.
- Plinninger, R.J., Kasling, H., Thuro, K. and Spaun, G., 2003**, "Testing conditions and geomechanical properties influencing the CERCHAR abrasiveness index (CAI) value", *International Journal of Rock Mechanics*
- شوریجه (کرتاسه تحتانی) در شرق حوضه کپه داغ", مجموعه مقالات پنجمین گردهمایی علوم زمین. پنجی، م. نداف، ر. و موسوی حرمنی، س. ر.، ۱۳۸۷، "مطالعه سنگ چینه‌شناسی سازند شوریجه در مقطع رادکان-بارو", جنوب شرق قوچان و مقایسه آن با مقاطع چشمی گیلاس، دره خور و گردنه مزدوران", مجموعه مقالات سومین همایش انجمن زمین‌شناسی ایران، دانشگاه شیراز.
- Afsharharb, A., 1979**, "The stratigraphy, Tectonics and petroleum Geology of the Kopet-Dagh Region, Northern Iran", *Ph.D. Thesis, Imperial College of Sciences, University of London, United Kingdom, 316 pp.*
- Alavi, M., Vaziri, H., Seyedemami, K., & Lasemi, Y., 1997**, "The Triassic and associated rocks of the Aghdarband areas in Central and north eastern Iran as remnants of the southern Turanian active continental margin", *Geological Society of America Bulletin*, Vol. 109: 1563-1575.
- Berberian, M., & King, G.C.P., 1981**, "Toward a paleogeography and tectonic evolution of Iran", *Canadian Journal Earth Sciences*, Vol. 18: 210- 265.
- Beste, U., Jacobson, S., & Hogmark, S., 2007**, "Rock penetration into cemented carbide drill buttons during rock drilling", *Wear*, Vol. 264: 1142- 1151.
- Bierniawski, Z. T., 1974**, "Estimating the Strength of Rock Materials", *Journal of the South African Institute of Mining and Metallurgy*, Vol. 74: 312-320.
- Bilim, N., 2011**, "Determination of drillability of some natural stones and their association with rock properties", *Scientific Research and Essays Vol. 6 (2)*: 382-387.
- Buryakovskiy, L. A., Chilinger, G. V., & Aminzadeh, F., 2001**, "Petroleum Geology of South Caspian Basin", *Gulf Professional Publishing, USA, 422 pp.*
- CERCHAR-Centre d'Etudes et Recherches de Charbonnages de France, 1986**, "The CERCHAR abrasivness index", *Verneuil (in French)*.
- Folk, R.L., 1974**, 'Petrology of sedimentary Rock", *Hemphill Publishing Co., Austin, Texas, 182P.*
- Franklin, J. A., 1970**, "Triaxial Strength of Rock Materials", *Xerox University Microfilms, Ann Arbor, Michigan, 30 pp.*
- Gerbaud, L., Menand, S., & Sellami, H., 2006**, "All comes from the cutter rock interaction" *SPE paper N°98988, IADC/SPE Drilling Conference, Miami, Florida.*
- Garzanti, E., & Gaetani, M., 2002**, "Unroofing history of Late Paleozoic magmatic arcs within the "Turan Plate" (Turkmenistan)", *Sedimentary Geology*, Vol. 151: 67-87.
- Han, G., Bruno, M., & Lao, K., 2005**, "Percussion Drilling in Oil Industry: Review and Rock Failure Modelling", *Terralog Technologies USA, Inc, AADE-05-NTCE-59.*
- Hoek, E. & Brown, E. T., 1980**, "Underground Excavations in Rock", *London, Institute of Mining and Metallurgy, 527 pp.*
- Hoek E., Wood, D. & Shah, S., 1992**, "A modified Hoek-Brown Failure Criterion for Jointed Rock Masses", *Eurock, London, Thomas Telford: 209-214.*
- Hoseiniie, S. H., Aghababaei, H., & Pourrahimian, Y.,**

- and Mining Sciences, Elsevier, Vol. 40 (2): 259-263,
- Rüttner, A. W., 1991, "Geology of the Aghdarband area (Kopet Dagh NE Iran)", *Abhandlungen der Geologischen Bundesanstalt*, Vol. 38: 7-79.
- Spar, J. R., Ledgerwood, L.W., Goodman, H., Graff, R. L., & Moo, T. J., 1995, "Formation Compressive Strength Estimates for Predicting Drillability and PDC Bit Selection", *SPE* 29397.
- Tang, C. & Hudson, J., 2010, "book of Rock Failure Mechanisms, Illustrated and Explained", London, CRC Press, 364 pp.
- Tang, C. & Tang, S., 2011, "Applications of rock failure process analysis (RFPA) method", *Journal of Rock Mechanics and Geotechnical Engineering*, Vol. 3 (4): 352-372.
- Thuro, K., & Plinninger, R.J., 2003, "Hard rock tunnel boring, cutting, drilling and blasting: rock parameters for excavatability", *ISRM 2003-Technology roadmap for rock mechanics*, South African Institute of Mining and Metallurgy: 1-7.
- Thuro, K., Singer, J., Käsling, H., & Bauer, M., 2006, "Soil abrasiveness assessment using the LCPC testing device", *Felsbau*, Vol. 24: 37-45.
- Vutukuri, V.S. & Katsuyama, K., 1994, "book of Introduction to Rock Mechanics", industrial publishing & Consulting, Inc, Tokyo, 275 pp.